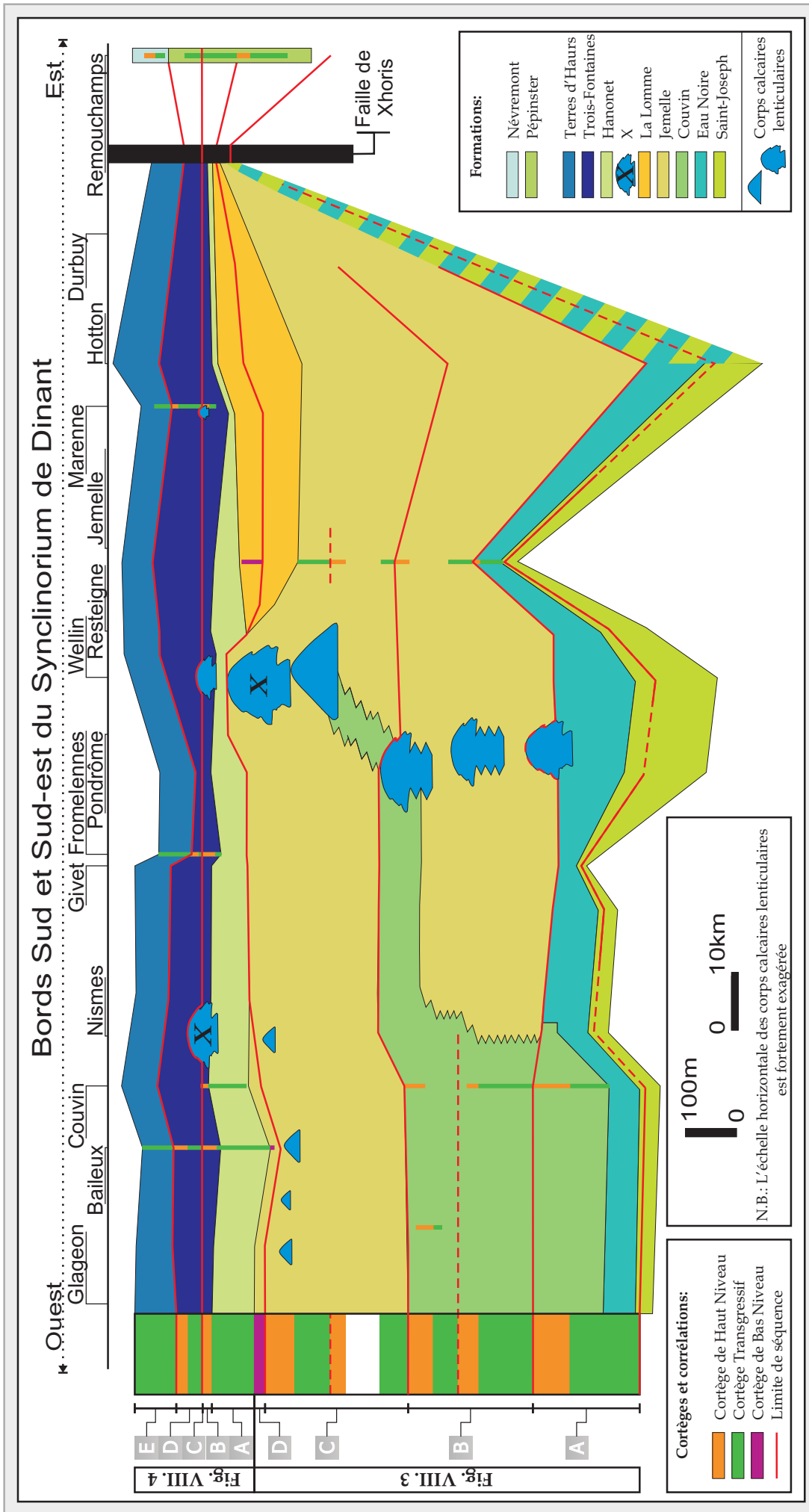


Fig. VIII. 1: Corrélations des différentes coupes étudiées.

Ces corrélations sont principalement obtenues par l'analyse séquentielle mais sont contrôlées et enrichies par les données issues de la littérature et celles obtenues par susceptibilité magnétique.

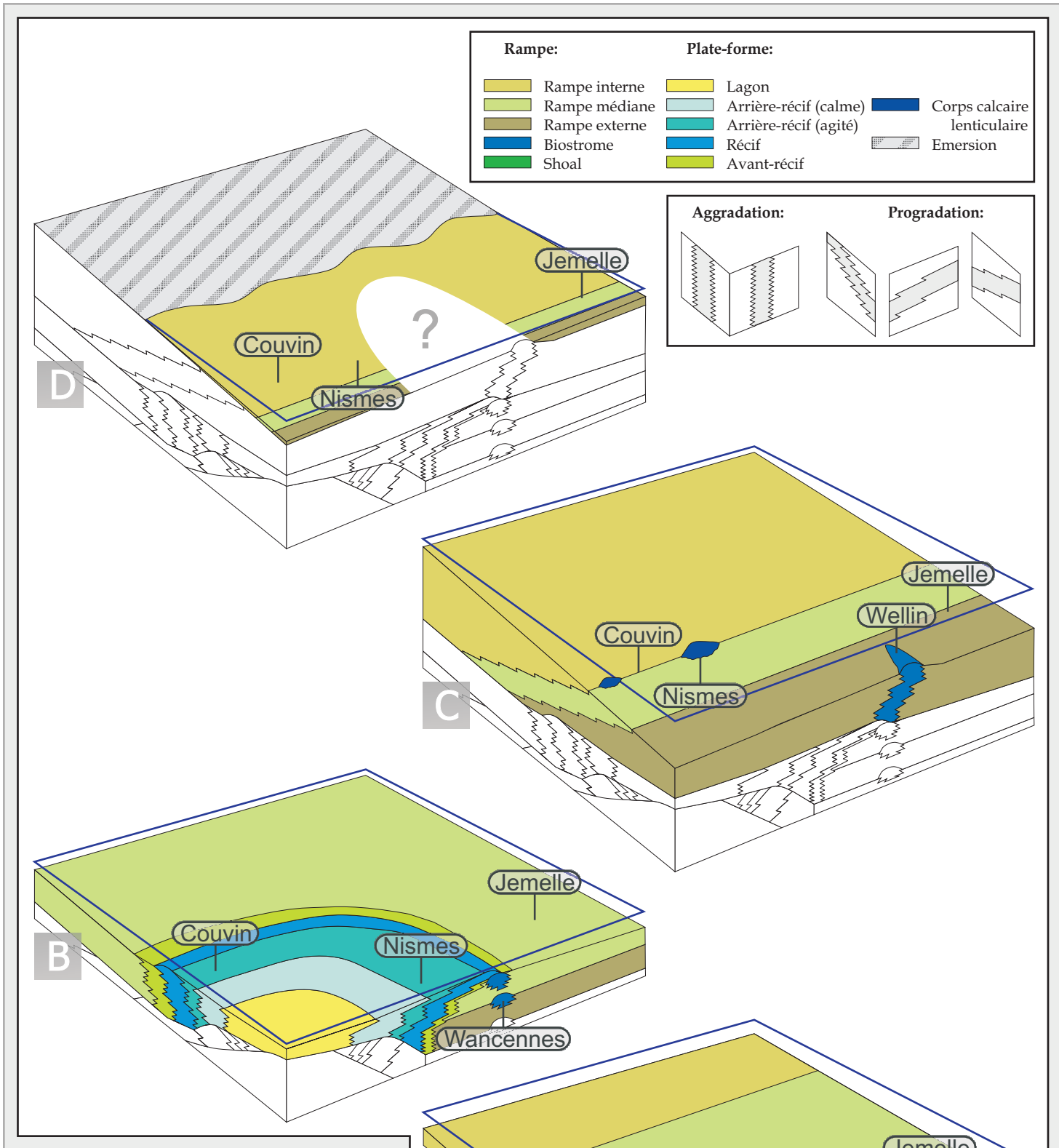
Le lecteur intéressé trouvera un agrandissement de cette figure au format A0 sur le CD des annexes.



**Fig. VIII. 2: Coupe générale et canevas de stratigraphie séquentielle des formations étudiées aux bords Sud et Sud-est du Synclinorium de Dinant.**

Les épaisseurs figurées sont celles des coupes étudiées (représentées par leurs différents cortèges de dépôt) ainsi qu'une compilation des données de la littérature (Barchy & Marion, sous presse ; Blockmans & Dumoulin, sous presse-a ; Blockmans & Dumoulin, sous presse-b ; Boulvain et al., 1995 ; Bultynck et al., 1991 ; Bultynck & Dejonghe, 2001 ; Casier & Prétat, 1990 ; Casier & Prétat, 1991 ; Dejonghe, 2008 ; Dumoulin & Blockmans, 2008 Dumoulin & Coen, sous presse ; Hubert, 2008 ; Lemonne & Dumoulin, 1998 ; Mamet & Prétat, 2005; Mansy et al., 2006 ; Marion & Barchy, 1999 ; Marion & Barchy, 2001 ; Marion & Barchy, sous presse ; Prétat et al., 2007).

Les différents intervalles stratigraphiques représentés aux Fig. VIII.3 et Fig. VIII.4 sont définis dans la colonne de gauche.



**Fig. VIII. 3: Blocs diagrammes schématiques (première partie).**

Ces blocs illustrent les intervalles définis à la Fig. VIII.2. Les principales localités citées dans le texte sont indiquées.

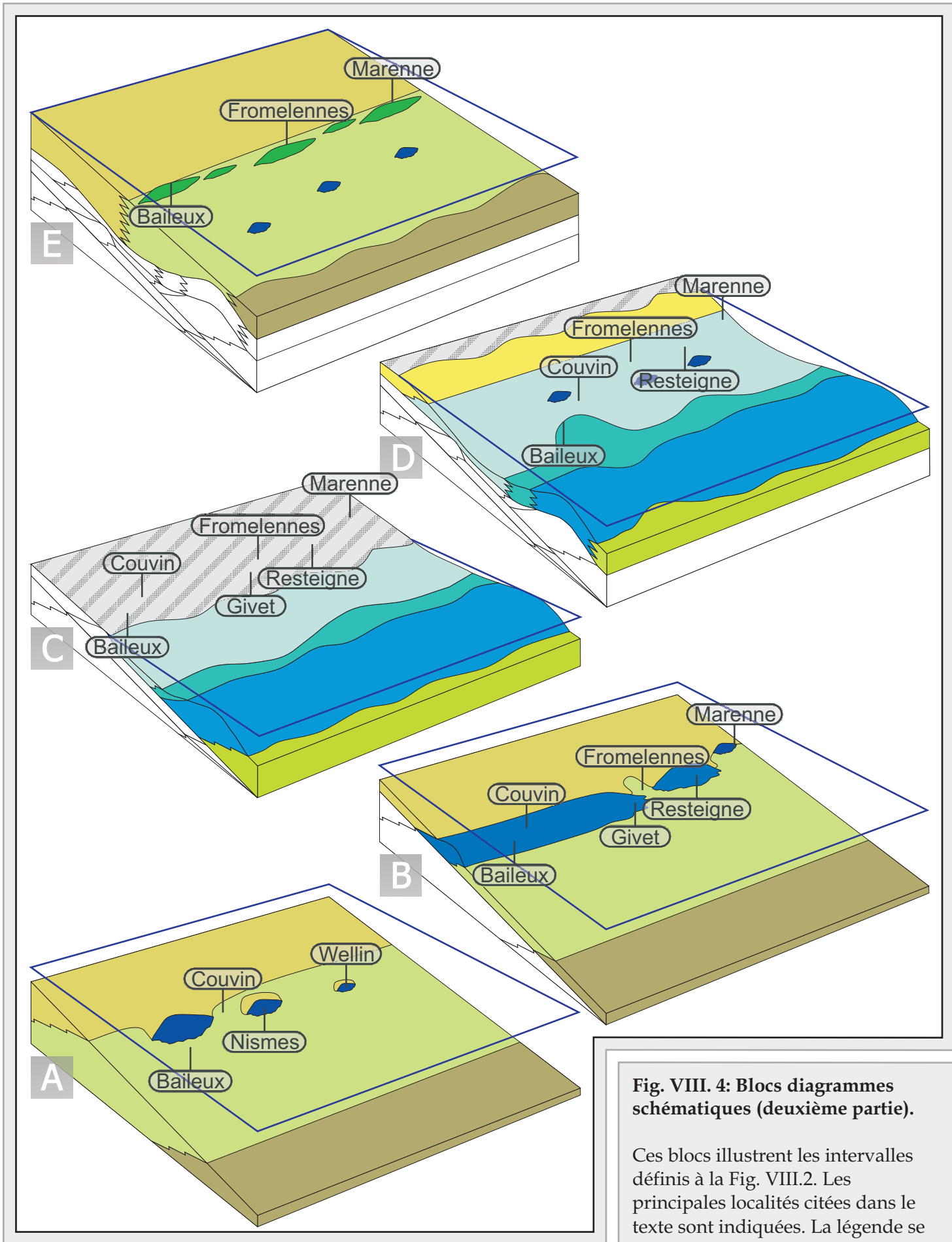
A. Sommet de la Formation de Saint-Joseph, Formation de l'Eau Noire et base de la Formation de Couvin.

B. Partie supérieure de la Formation de Couvin et première partie de la Formation de Jemelle.

C. Partie supérieure de la Formation de Jemelle et base de la Formation de La Lomme.

D. Extrême sommet de la Formation de Jemelle et sommet de la Formation de La Lomme (Membre de La Wamme).

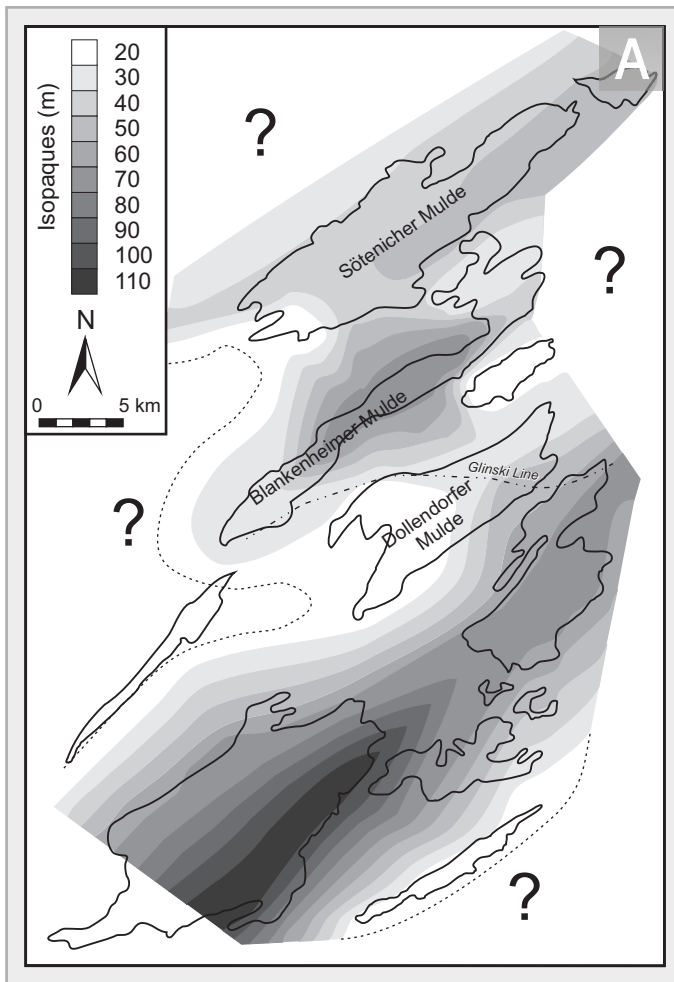
**Fig. VIII. 3**



**Fig. VIII. 4: Blocs diagrammes schématiques (deuxième partie).**

Ces blocs illustrent les intervalles définis à la Fig. VIII.2. Les principales localités citées dans le texte sont indiquées. La légende se trouve à la Fig. VIII.3.

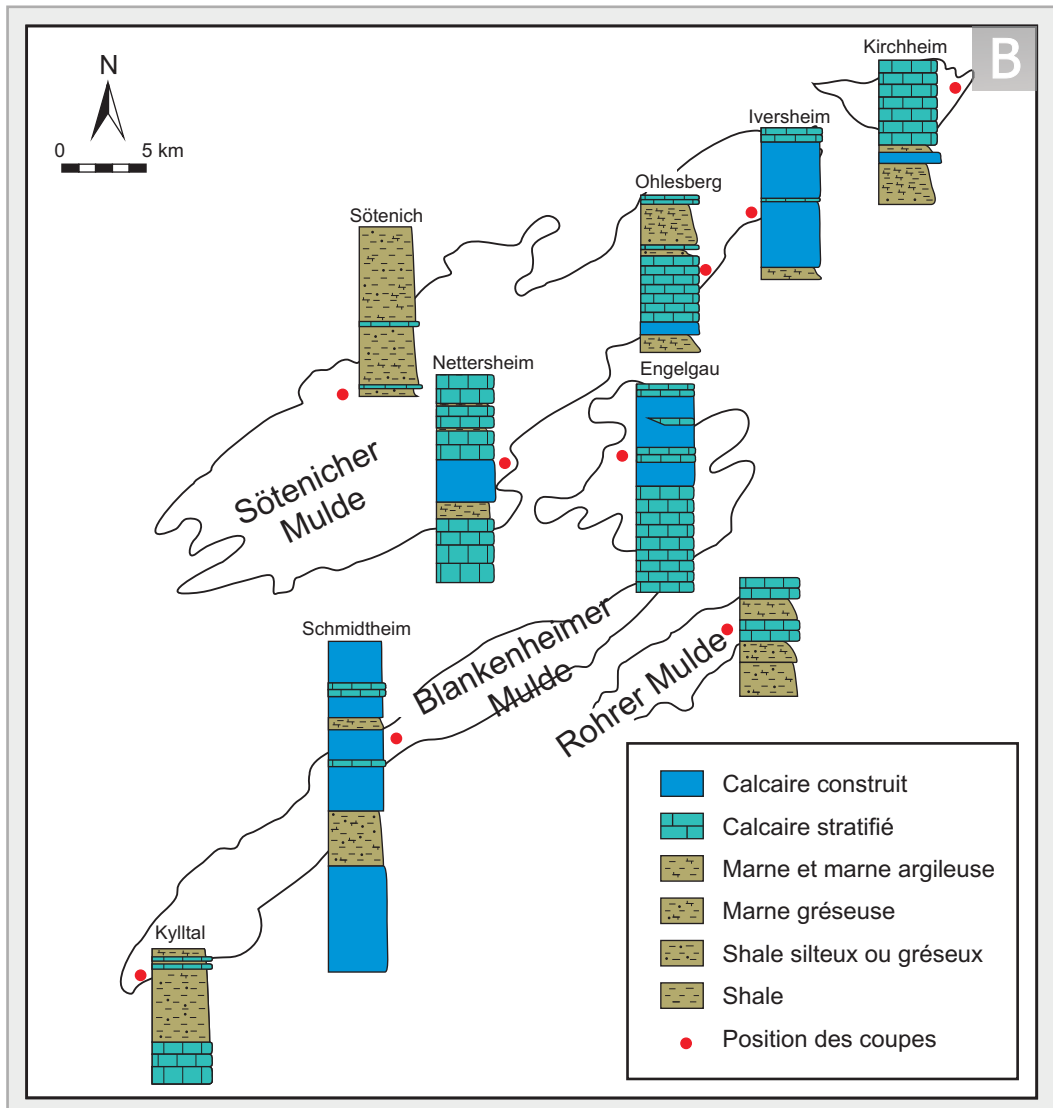
- A. Formation de Hanonet.
- B. Partie inférieure de la Formation de Trois-Fontaines.
- C. Limite de séquence correspondant au sommet du biostrome de la Formation de Trois-Fontaines.
- D. Partie supérieure de la Formation de Trois-Fontaines.
- E. Formation des Terres d'Hours.



**Fig. VIII. 5: Carte des isopaques et colonnes lithologiques schématiques de quelques coupes de la Formation Untere Nohn.**

A. Carte des isopaques basée sur les données de Meyer (1994) qui reprend des épaisseurs régionales (elle indique donc les tendances et peut indiquer des valeurs erronées en un point particulier. La "Glinski Ligne" définie dans la Formation de Junkenberg est figurée au sein du Dollendorfer Mulde.

B. Colonnes lithologiques schématiques de quelques coupes de la Formation Untere Nohn basées sur les travaux de Glinski (1961), de Meyer (1994), de Nowak (1956), d'Ochs & Wolfart (1961) et de Paulus (1959).



**Fig. VIII. 5**



